

ЭФФЕКТ УСИЛЕНИЯ НАВЕДЕННОГО ФОТОПЛЕОХРОИЗМА В СТРУКТУРАХ $p-n\text{-GaP}/p\text{-Si}$

А. Беркелиев,¹ Ю. В. Жиляев, Н. Назаров,¹ В. Ю. Рудь, Ю. В. Рудь,
Л. М. Федоров

Физико-технический институт им. А. Ф. Иоффе Российской академии наук, 194021, Санкт-Петербург, Россия

Физико-технический институт Академии наук Туркменистана, Ашгабад, Туркменистан
(Получена 19 марта 1993 г. Принята к печати 25 марта 1993 г.)

Представлены экспериментальные результаты измерений фоточувствительности структур $p-n\text{-GaP}/p\text{-Si}$, содержащих два встречно включенных энергетических барьера. Показано, что при наклонном падении линейно поляризованного излучения в исследованных структурах возникает поляриметрический эффект, который контролируется углом падения. Обнаружены эффекты поляризационной инверсии знака фототока в зависимости от угла падения, азимутального угла и энергии падающих фотонов линейно поляризованного излучения. Установлено, что в окрестности точки инверсии знака фототока наступает эффект усиления наведенного фотоплеохроизма. Сделан вывод о возможностях применения полученных структур в фотоанализаторах линейно поляризованного излучения.

Одной из главных проблем в создании фоточувствительных поляриметрических фотодетекторов остается обеспечение высокого значения коэффициента фотоплеохроизма [¹]. Целый ряд подходов, обеспечивающих увеличение коэффициента естественного фотоплеохроизма \mathcal{P}_N вплоть до достижения эффекта гигантского фотоплеохроизма ($\mathcal{P}_N \rightarrow \infty$), был развит при изучении фоточувствительности в структурах с потенциальным барьером в анизотропных полупроводниковых кристаллах [¹⁻³]. Этот эффект основан на достижении поляризационной инверсии знака фототока, в результате чего $\mathcal{P}_N \rightarrow \infty$. До последнего времени возможности проявления этого эффекта в поляризационной фоточувствительности, возникающей при наклонном падении линейно поляризованного излучения, вообще не обсуждались. Поэтому коэффициент наведенного фотоплеохроизма \mathcal{P}_I , наблюдавшийся в диодных структурах на изотропных полупроводниках, принципиально не выходит за пределы $\mathcal{P}_I = 100\%$.

В настоящей работе впервые сообщается о получении GaP-структурь с двумя $p-n$ -переходами на Si-подложках и о достижении эффекта усиления наведенного фотоплеохроизма, т. е. $\mathcal{P}_I > 100\%$, на структурах $p-n\text{-GaP}/p\text{-Si}$, параметры которых обеспечивали инверсию знака фототока при изменении длины волны неполяризованного излучения.

1. Объектами исследования эффектов поляризационной фоточувствительности служили структуры $p-n\text{-GaP}/p\text{-Si}$, полученные методом газофазной эпитаксии в открытой хлоридной системе [^{4, 5}].

Для получения структур $p-n\text{-GaP}/p\text{-Si}$ вначале на подложке $p\text{-Si}$ выращивался гетероэпитаксиальный слой $n\text{-GaP}$, а затем поверх него наращивался слой $p\text{-GaP}$. Толщина первого эпитаксиального слоя $n\text{-GaP}$ составляла $3-4$ мкм. В процессе эпитаксии слои $n\text{-GaP}$ легировались теллуром и серой до концентраций электронов $n \approx (1+3) \cdot 10^{17} \text{ см}^{-3}$. Эпитаксиальный слой $p\text{-GaP}$ выращивался на

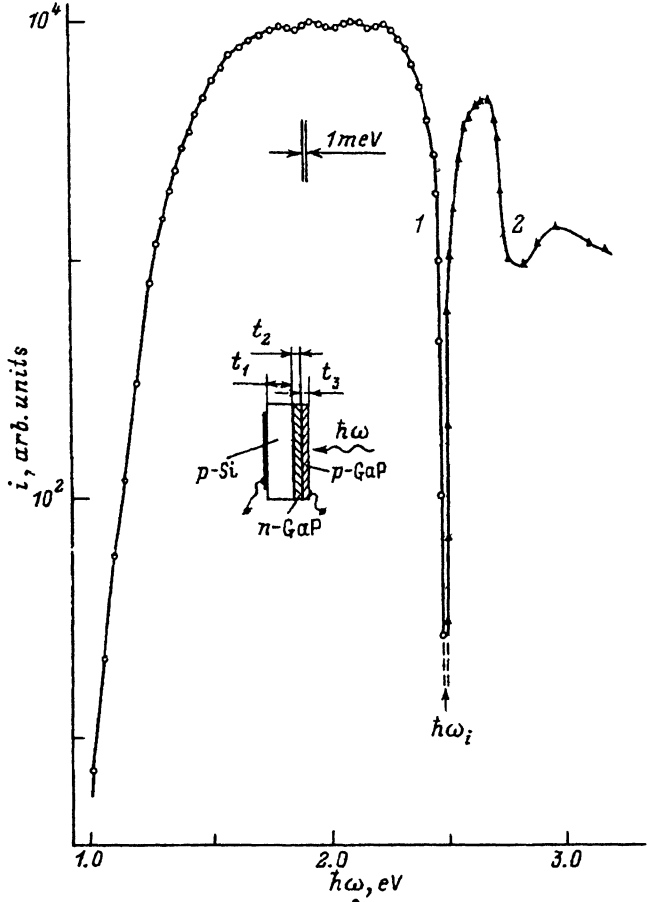


Рис. 1. Спектральная зависимость фототока короткого замыкания при воздействии неполяризованным излучением на структуру $p-n\text{-GaP}/p\text{-Si}$ $T = 300$ К. На вставке — схема структуры; $t_1 = 400$ мкм, $t_2 = 4$ мкм, $t_3 = 4$ мкм. Полярность фототока (полярность контакта на $p\text{-Si}$): 1 — „+“; 2 — „—“.

структуре $n\text{-GaP}/p\text{-Si}$ и при этом легировался цинком до концентраций дырок $p \approx (0.5 \div 1.0) \cdot 10^{17} \text{ см}^{-3}$; толщина слоя составляла ~ 4 мкм. Для получения структур $p-n\text{-GaP}/p\text{-Si}$ использовались полированые пластины Si марки КДБ-001 толщиной ~ 400 мкм, ориентированные в плоскости (100) и характеризуемые углом разориентации 4° в направлении [110].

Таким образом, полученные структуры представляли собой два энергетических барьера $n\text{-GaP}/p\text{-Si}$ и $p-n\text{-GaP}$ с встречно направленными электрическими полями, что позволяло ожидать проявления в них инверсии знака суммарного фототока при изменении длины волны неполяризованного излучения.

На рис. 1 представлена типичная спектральная зависимость фототока короткого замыкания (i) для одной из выращенных структур при освещении неполяризованным излучением со стороны $p\text{-GaP}$. Видно, что фоточувствительность наблюдается в широкой области энергий фотонов. Длинноволновая граница отвечает началу межзонного поглощения в кремнии и определяется непрямыми переходами, а знак суммарного фототока i (условно положительный) позволяет считать, что в диапазоне энергий фотонов от 1.0 до 2.4 эВ основной вклад в i обеспечивает гетеропереход $n\text{-GaP}/p\text{-Si}$. В диапазоне от 1.6 до 2.3 эВ фототок проявляет неселективный характер, что указывает на достаточно эффективное

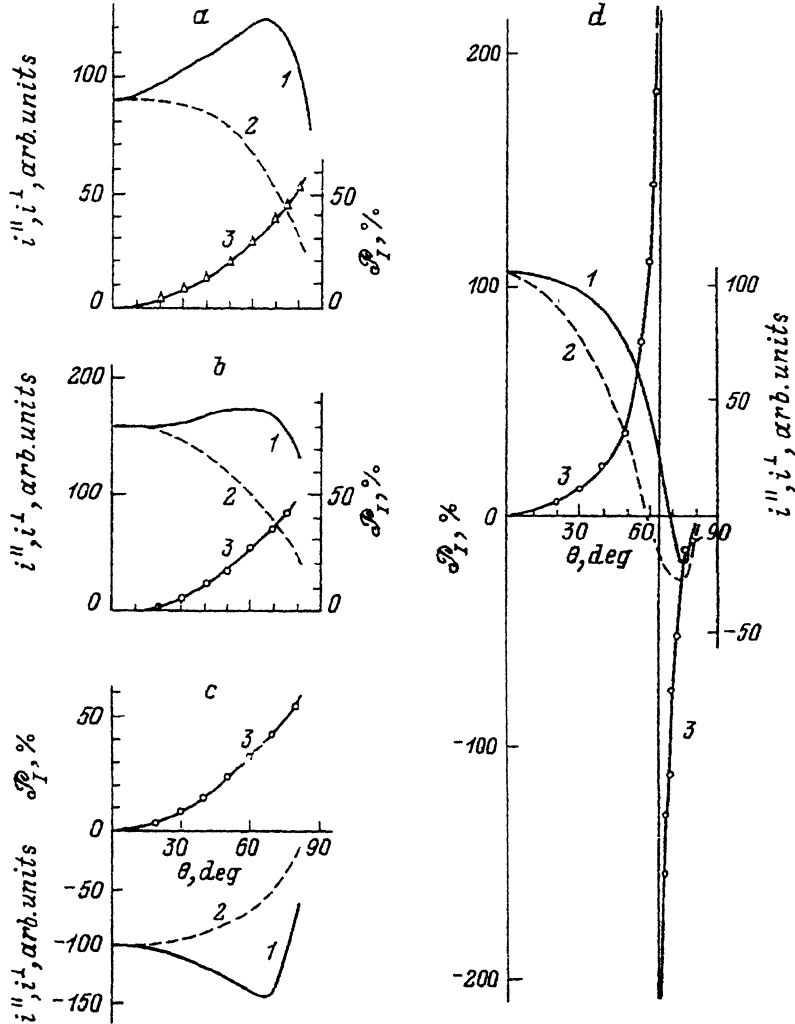


Рис. 2. Зависимости фототока короткого замыкания i'' (1), i' (2) и коэффициента фотоплеохроизма ϕ_I (3) для структур $p-n\text{-GaP}/p\text{-Si}$ от угла падения θ линейно поляризованного излучения на поверхность $p\text{-GaP}$ при различных длинах волн. $T = 300$ К. λ , мкм: а — 0.5500; б — 0.9200; в — 0.4800; г — 0.5000. Погрешность установки угла падения $\Delta\theta = \pm 30'$. Полярность фототока указана как полярность контакта на $p\text{-Si}$.

разделение фотогенерированных носителей заряда удаленным от освещаемой поверхности барьера $n\text{-GaP}/p\text{-Si}$. Из рис. 1 можно также видеть, что в спектрах фототока проявилась серия эквидистантных максимумов, которые свидетельствуют об интерференции излучения в слоях GaP. Проявление такой картины указывает на высокую однородность и совершенство выращенных на специально разориентированном кремнии слоев GaP.

Инверсия знака суммарного фототока вблизи $\hbar\omega_1 = 2.485$ эВ (рис. 1) и знак i в коротковолновой спектральной области (условно отрицательный) позволяют считать, что с наступлением межзонных переходов в GaP основной вклад в фоточувствительность структуры уже обеспечивается локализованным у освещаемой плоскости барьера $p-n\text{-GaP}$. Таким образом, инверсия знака фототока при изменении длины волны неполяризованного излучения вызвана конкуренцией

включенных энергетических барьеров n -GaP/ p -Si и p - n -GaP. Этот известный эффект может быть использован для дистанционного детектирования температуры нагретых тел [6]. Далее, будут рассмотрены новые для такого рода структур эффекты, возникающие при наклонном падении линейно поляризованного излучения.

2. На рис. 2 суммированы характерные примеры зависимостей поляризационных параметров структуры от угла падения излучения. Общей закономерностью этих зависимостей как в области постоянного знака фототока, так и в окрестности длины волны λ_i , при которой наступает инверсия знака i , является возникновение поляризационной фоточувствительности, $\mathcal{P} \neq 0$, как только угол падения θ становится отличным от нуля. Следовательно, как и в неинвертирующих знак фототока структурах [7], поляризационная фоточувствительность для структур p - n -GaP/ p -Si обусловливается прохождением излучения через границу воздух—поверхность p -GaP. Как видно из рис. 2, а, б, при освещении структуры с отличным от λ_i длинами волн угловые зависимости фототока i^{\parallel} , возникающего при совмещении электрического вектора световой волны E с плоскостью падения Р излучения, т. е. при $E \parallel P$, фототока i^{\perp} , при $E \perp P$, а также коэффициента фотоплеохроизма

$$\mathcal{P}_i = \left(\frac{i^{\parallel} - i^{\perp}}{i^{\parallel} + i^{\perp}} \right) \quad (1)$$

в общем оказались сходными с известными для одиночных барьеров в кристаллах $A^{III}B^V$ [7].

Действительно, независимо от знака фототока во всей области фоточувствительности в угловой зависимости $i^{\parallel}(\theta)$ с ростом угла падения отмечается рост фототока, при $\theta \approx 65^\circ$ достигается максимум и только при больших углах падения амплитуда падает. На кривых $i^{\perp}(\theta)$ падение фототока наблюдается во всей области углов θ (рис. 2, а—с). Эти зависимости в общем отвечают ожидаемым из соотношений Френеля для амплитудных коэффициентов прохождения светом границы сред с разными показателями преломления [8, 9]. Что касается коэффициента фотоплеохроизма, то несмотря на смену знака фототока при $\lambda = \lambda_i$, знак \mathcal{P}_i остается положительным и угловая зависимость подчиняется соотношению $\mathcal{P}_i \sim \theta^2$.

В окрестности длины волны λ_i , при которой наблюдается инверсия знака и фототока, и коэффициента фотоплеохроизма обнаруживаются новые закономерности. Так, для каждой из компонент, $i^{\parallel}(\theta)$ и $i^{\perp}(\theta)$, имеется свой угол падения (соответственно 68° и 58°), при котором наступает инверсия знака foto-

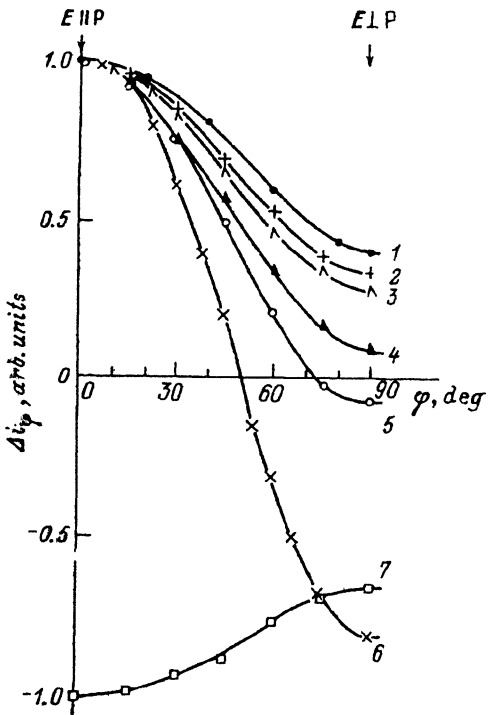


Рис. 3. Поляризационные индикаторы фототока короткого замыкания структуры p - n -GaP/ p -Si при различных длинах волн излучения. $T = 300$ К. λ , мкм: 1 — 0.92; 2 — 0.65; 3 — 0.55; 4 — 0.5150; 5 — 0.5075; 6 — 0.5000; 7 — 0.48. $\theta = 75^\circ$.

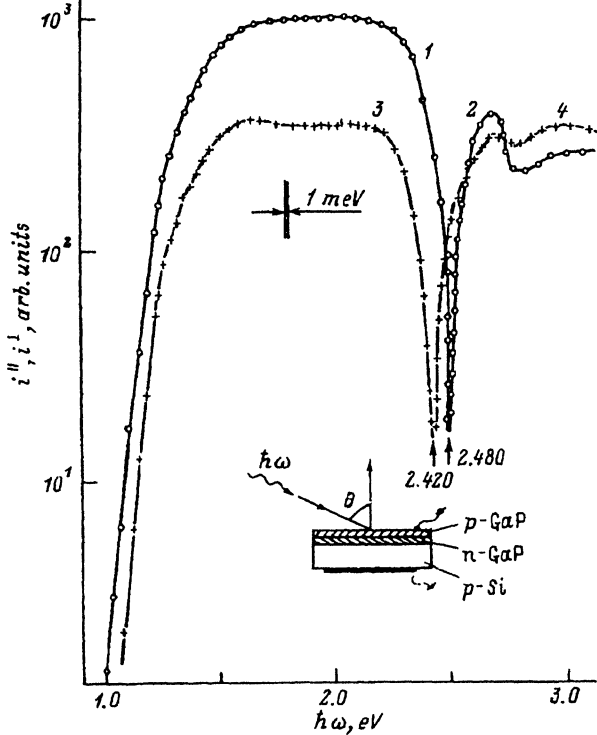


Рис. 4. Спектральные зависимости фототока короткого замыкания i'' (1, 2) и i^\perp (3, 4) структур $p-n$ -GaP/ p -Si при наклонном падении линейно поляризованного излучения. $T = 300$ К. На вставке — схема освещения структуры. Полярность контакта на p -Si: 1, 3 — “+”; 2, 4 — “—”.

ток короткого замыкания. К тому же эти зависимости уже не следуют просто законам отражения, определяемым соотношениями Френеля [8]. Это является результатом того, что при прохождении световой волны границы воздух—кристалл регистрируется фототок, формирующийся как сумма встречно направленных фототоков от каждого из барьеров (в окрестности λ_1). В соответствии с выражением (1) из-за инверсии знаков i'' и i^\perp в угловой зависимости \mathcal{P}_I (6) появляется точка разрыва при $\theta = 65^\circ$ и коэффициент фотоплеохроизма стремится к бесконечности: $\mathcal{P}_I \rightarrow \pm \infty$. Реально наблюдавшиеся значения \mathcal{P}_I достигали $\pm (400 \div 700)\%$. Как видно из рис. 2, асимптота гиперболической кривой фотоплеохроизма проходит при угле падения $\sim 65^\circ$, соответствующем максимумам на кривых $i''(\theta)$ (рис. 2, a—c).

Таким образом, в окрестности точки инверсии знака фототока в угловой зависимости коэффициента фотоплеохроизма при θ_1 достигается эффект усиления поляризационной фоточувствительности ($\mathcal{P}_I \rightarrow \pm \infty$).

3. Типичные поляризационные индикаторы фототока для полученных структур $p-n$ -GaP/ p -Si в области поляризационной фоточувствительности при $\theta = 75^\circ$ приведены на рис. 3. Главной закономерностью этих периодических зависимостей фототока от азимутального угла φ является то, что все они подчиняются одному и тому же соотношению, известному как обобщенный закон Малюса

$$\Delta i_\varphi = i'' \cos^2 \varphi + i^\perp \sin^2 \varphi. \quad (2)$$

В области $\lambda \approx \lambda_1$ (рис. 3, кривые 4, 5) имеет место инверсия знака фототока, контролируемая уже величиной азимутального угла. Изменением длины волны

излучения при фиксированном угле падения можно контролировать величину азимутального угла φ_i , обеспечивающего инверсию знака фототока. Очевидно, что в данном случае изменение длины волны позволяет регулировать вклад каждого из барьера в величину суммарного фототока. Вне точки инверсии максимальная амплитуда фототока всегда достигается в поляризации $E \parallel P$, тогда как в окрестности λ_i возможно реализовать случай, когда фототоки i^{\parallel} и i^{\perp} равны по амплитуде, но противоположны по знаку. Именно этот случай, как следует из выражения (1), обеспечивает достижение эффекта усиления фотоплеохроизма.

Таким образом, как и для естественного фотоплеохроизма [1, 6], в поляризационных индикаторах двухбарьерных структур наблюдается контролируемая азимутальным углом между электрическим вектором световой волны и плоскостью падения излучения инверсия знака фототока. До сих пор такая инверсия была установлена только в структурах на анизотропных полупроводниках [3].

4. На рис. 4 показана типичная спектральная зависимость фототока структуры при двух экстремальных относительно P положениях плоскости поляризации излучения. В общем эти зависимости подобны рассмотренным ранее для случая освещения таких структур неполяризованным излучением (рис. 1).

Поляризация излучения позволяет контролировать величину фототока, не влияя на спектральный контур фоточувствительности вне окрестности λ_i . В поляризованном свете для каждой из поляризаций в спектральной зависимости фототока имеется своя точка инверсии: 2.420 и 2.485 эВ для i^{\parallel} и i^{\perp} соответственно. В интервале между этими энергиями фотонов проявляется случай, когда изменение положения плоскости поляризации при $\hbar\omega = \text{const}$ вызывает изменение знака фототока. Как видно из рис. 5, в указанном интервале энергий фотонов реализуется и случай $i^{\parallel} = -i^{\perp}$, что согласно (1) обеспечивает интересующий нас эффект $\mathcal{P}_i \rightarrow \pm \infty$.

На рис. 5 представлен пример спектральной зависимости коэффициента наведенного фотоплеохроизма структуры $p-n\text{-GaP}/p\text{-Si}$ при $\theta = 75^\circ$. В широкой спектральной области фоточувствительности 1.1–2.3 эВ коэффициент фотоплеохроизма изменяется слабо и находится на уровне $\mathcal{P}_i \approx 50\%$, что в совокупности с широко-полосным характером спектральных зависимостей фототока (рис. 1 и 4) позволяет сделать вывод о неселективном характере спектральных зависимостей азимутальной фоточувствительности [3] полученных структур в указанном диапазоне длин волн.

Главная особенность в спектральных зависимостях \mathcal{P}_i структур $p-n\text{-GaP}/p\text{-Si}$ как раз реализуется, когда $i^{\parallel} = -i^{\perp}$ (рис. 5). Видно, что асимптота гиперболы располагается при энергии фотонов $\hbar\omega_i \approx 2.47$ эВ, при которой встречные фототоки i^{\parallel} и i^{\perp} равны по амплитуде. Вблизи этой

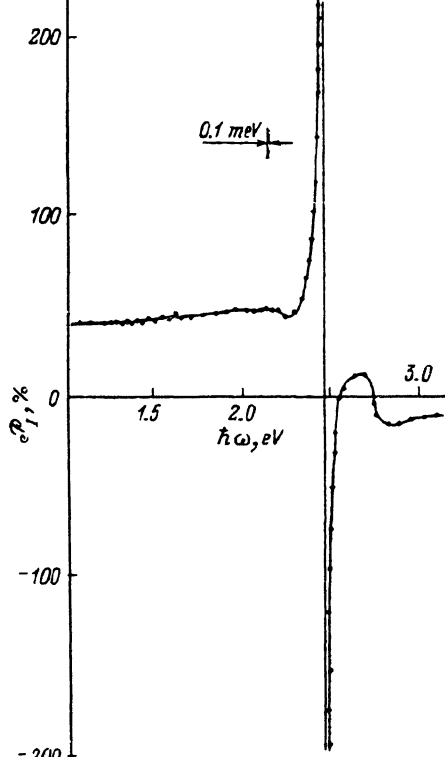


Рис. 5. Спектральная зависимость коэффициента фотоплеохроизма структуры $p-n\text{-GaP}/p\text{-Si}$ при наложении линейно поляризованного излучения на поверхность $p\text{-GaP}$. $T = 300$ К. $\theta = 75^\circ$.

энергии фотонов происходит усиление коэффициента фотоплеохроизма, $\mathcal{P}_I \rightarrow \pm \infty$. Экспериментально достигнуты максимальные величины $\mathcal{P}_I \approx 900\%$, что существенно выше типичных значений коэффициента фотоплеохроизма не инвертирующих фототок структур [6]. Здесь следует отметить, что посредством внешнего электрического смещения аналогично [2] удается экспрессно управлять величиной $\hbar\omega$ и, следовательно, осуществлять перестройку узкого спектрального диапазона эффекта «гигантского» наведенного фотоплеохроизма.

5. В заключение укажем, что представленные здесь результаты исследований фоточувствительности структур $p-n\text{-GaP}/p\text{-Si}$ доказывают реальность достижения эффекта усиления наведенного фотоплеохроизма и открывают возможность применения $p-n$ -структур из GaP на подложках $p\text{-Si}$ в качестве высокочувствительных селективных фотоанализаторов линейно поляризованного излучения.

СПИСОК ЛИТЕРАТУРЫ

- [1] Ю. В. Рудь. Изв. вузов. Физика. Вып. 8. 68 (1986).
- [2] А. А. Абдурахимов, В. Ю. Рудь, В. Е. Скорюкин, Ю. К. Ундалов. ЖПС, 37, 463 (1982).
- [3] Ю. В. Рудь, Р. В. Масагутова. ФТП, 15, 439 (1981).
- [4] Ю. В. Жиляев, В. В. Криволапчук, Н. Назаров, И. П. Никитина, Н. К. Полетаев, Д. В. Сергеев, В. В. Травников, Л. М. Федоров. ФТП, 24, 1303 (1990).
- [5] В. В. Евстропов, Ю. В. Жиляев, Н. Назаров, Д. В. Сергеев, Л. М. Федоров. ФТП, 27, 668 (1993).
- [6] А. Милнс, Д. Фойхт. Гетеропереходы и переходы металл-полупроводник, 432, М. (1975).
- [7] С. Г. Конников, Д. Мелебаев, В. Ю. Рудь, М. Сергинов. Письма ЖТФ, 18, вып. 12, 39 (1992).
- [8] Г. С. Ландсберг. Оптика, 926. М. (1976).
- [9] Р. Аззам, М. Башара. Эллипсометрия и поляризованный свет, 584. М. (1981).

Редактор Л. В. Шаронова